

**EXEMPLO 7 — RESOLUÇÃO DE SISTEMAS DE EQUAÇÕES LINEARES
PELO MÉTODO ITERATIVO DE GAUSS-SEIDEL.**

Escrevamos o sistema de equações na forma

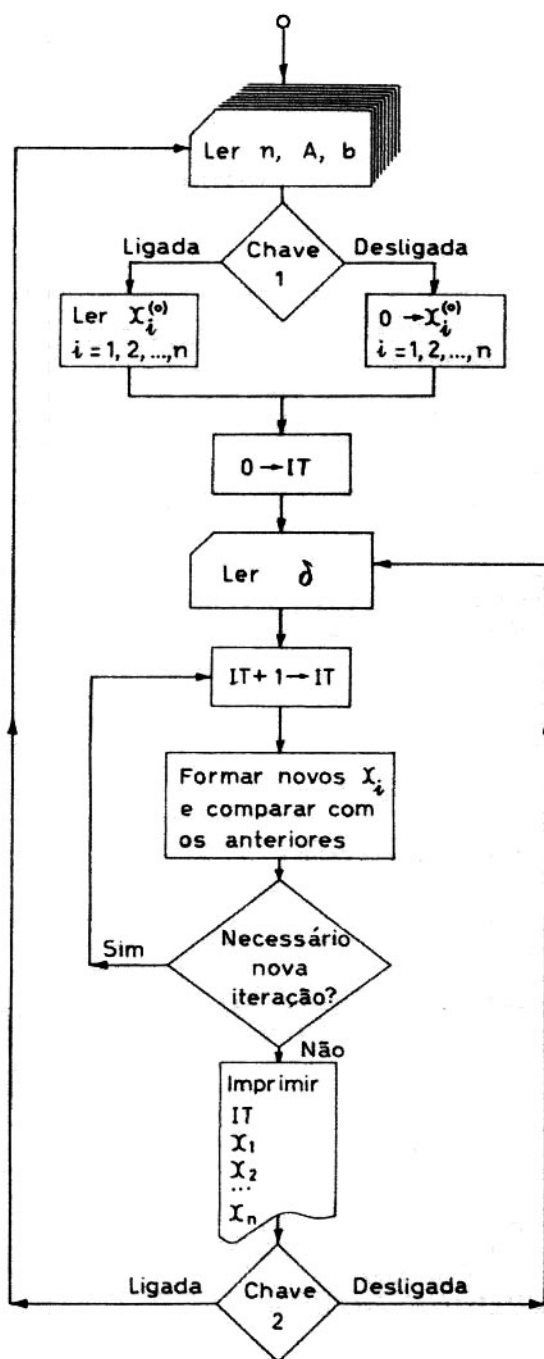
$$x_i = (b_i - \sum_{j \neq i} a_{ij}x_j)/a_{ii} \quad i = 1(1)n$$

com todos os a_{ii} não nulos.

Partindo dum vector solução aproximado $(x_1^0, x_2^0, \dots, x_n^0)$ constroi-se nova aproximação $(x_1^1, x_2^1, \dots, x_n^1)$ pelo esquema

$$\begin{aligned} x_1^1 &= (b_1 - a_{1,2}x_2^0 - a_{1,3}x_3^0 - a_{1,4}x_4^0 - \dots - a_{1,n}x_n^0)/a_{1,1} \\ x_2^1 &= (b_2 - a_{2,1}x_1^1 - a_{2,3}x_3^0 - a_{2,4}x_4^0 - \dots - a_{2,n}x_n^0)/a_{2,2} \\ x_3^1 &= (b_3 - a_{3,1}x_1^1 - a_{3,2}x_2^1 - a_{3,4}x_4^0 - \dots - a_{3,n}x_n^0)/a_{3,3} \\ &\dots \\ x_n^1 &= (b_n - a_{n,1}x_1^1 - a_{n,2}x_2^1 - a_{n,3}x_3^1 - \dots - a_{n,n-1}x_{n-1}^1)/a_{n,n} \end{aligned}$$

onde os x_i^1 são utilizados nos segundos membros logo que estejam calculados. Se $|x_i^1 - x_i^0| < \delta$, ($\delta > 0$, $i = 1, 2, \dots, n$), com δ desprezável para o rigor exigido considera-se obtida a solução. Teremos $x_i = x_i^1$. Em caso contrário os x_i^1 tomam o papel dos x_i^0 e calculam-se novos x_i^1 ; repete-se o processo até que, havendo convergência (ver [14]), se atinja a situação anterior.



	5	6	7	10	20	30	40	50	60	70	7
	SISTEMAS DE EQUAÇÕES ALGÉBRICAS LINEARES										
	MÉTODO DE GAUSS-SEIDEL										
	DIMENSÃO A(49,49) · B(49) · X(49)										
	LEITURAS-ORDEM, ELEMENTOS DA MATRIZ, TERMOS INDEPENDENTES										
1	READ 100, N										
100	FORMAT(13)										
	READ 101, ((A(I,J), J=1,N), I=1,N), (B(I), I=1,N)										
101	FORMAT(E14.8)										
	PRINT 102										
102	FORMAT(SOHLIGUE A CHAVE 1 SE DESEJA FORNECER UMA APROXIMAÇÃO)										
	1 30HDPORTRÁ FORMA TÓMAR-SE-A X(I)=0										
	PAUSE										
1	IF(SENSE SWITCH 1)2,3										
2	READ 101, (X(I), I=1,N)										
	GOTO 4										
3	DO 5 I=1, N										
5	X(I)=0.										
4	IT=0										
	JT-CONTADOR DE ITERAÇÕES										
6	READ 101, DELTA										
	NOVA APROXIMAÇÃO										
7	IT=JT+1										
	IES=0										
	IES-CONTADOR DE SITUAÇÕES ABS(F(X(I))-X0(I)) MENOR QUE DELTA										
	SOLUÇÃO OBTIDA QUANDO IES=N										
	DO 8 J=1, N										
	S=B(I)										
	DO 9 J=1, N										
	IF(J=1) 10, 9, 10										
10	S=S-A(I,J)*X(J)										
9	CONTINUE										
	S=S/A(I,I)										
	S CONTEM A NOVA COMPONENTE I										
	QUE SERÁ COMPARADA COM A ANTIGA										
	E TRANSMITIDA PARA X(I)										
	IF(ABS(F(S-X(I)))-DELTA) 11, 8, 8										
11	IES=IES+1										
8	X(I)=S										
	IF(IES=N) 7, 13, 12										
12	STOP										

```

2 | IMPRESSAO DOS RESULTADOS
13 | PRINT 103,IT,(I,X(I),I=1,N)
103| FORMAT(1/3HIT=,15/(2HX(,13,2H)=,E14.8))
|
| PRINT 104
104| FORMAT(1/3BNC HAVE 2 LIGADA-RESOLVER OUTRO PROBLEMA/SX
| 145HDESLIGADA-LER NOVO DELTA E MELHORAR A SOLUCAO)
| PAUSE
| IF(SENSE SWITCH2)1,6
| END
|

```

Para

$$A = \begin{bmatrix} 6 & -2 & 1 & 0 \\ 0 & -12 & 4 & 1 \\ 1 & 2 & -7 & 4 \\ 0 & -3 & 0 & 5 \end{bmatrix} \quad B = \begin{bmatrix} 19 \\ 33 \\ -39 \\ -2 \end{bmatrix}$$

cuja solução é $x_1=2$ $x_2=-1$ $x_3=5$ $x_4=-1$, com chave 1 desligada e $\delta=10^{-6}$, o computador forneceu a resposta seguinte:

```

LIGUE A CHAVE 1 SE DESEJA FORNECER UMA APROXIMACAO
DOUTRA FORMA TOMAR-SE-A X(1)=0

IT= 16
X( 1)= .19999398E+01
X( 2)= -.10000001E+01
X( 3)= .49999995E+01
X( 4)= -.10000000E+01

CHAVE 2 LIGADA-RESOLVER OUTRO PROBLEMA
DESLIGADA-LER NOVO DELTA E MELHORAR A SOLUCAO

```

Bibliografia: [14], [27], [31], [33].

**EXEMPLO 8 — RAIZ CARACTERÍSTICA DE MÓDULO MÁXIMO
DE UMA MATRIZ.**

Seja A uma matriz de ordem n , com valores próprios λ_j tais que

$$|\lambda_1| > |\lambda_2| \geq \dots \geq |\lambda_n| \quad \text{com } \lambda_1 \text{ real.}$$

Partindo dum vector quase arbitrário v_0 (por exemplo, com todas as componentes iguais a 1), e utilizando as fórmulas de recorrência

$$\begin{aligned} z_k &= Av_{k-1} \\ k &= 1, 2, 3, \dots \\ v_k &= z_k/\mu_k \end{aligned}$$

onde cada escalar μ_k é componente de módulo máximo de z_k (i. e. v_k fica com componentes de módulo entre 0 e 1 e componente máxima 1), prova-se que em geral μ_k tende para o valor próprio λ_1 e v_k para um vector próprio correspondente, bastando admitir que v_0 se pode exprimir por uma composição linear de vectores próprios x_j associados aos λ_j

$$(1) \quad v_0 = \sum_{j=1}^n \alpha_j x_j \quad \text{com } \alpha_1 \neq 0.$$

Tomando um vector v_k da sucessão, temos

$$v_k - \frac{1}{\mu_k} z_k = \frac{1}{\mu_k} Av_{k-1} = \frac{1}{\mu_k} A - \frac{1}{\mu_{k-1}} A \dots - \frac{1}{\mu_1} A v_0$$

ou, fazendo $C_k = 1/(\mu_k \mu_{k-1} \dots \mu_1)$

e atendendo a (1) e a que $Ax_j = \lambda_j x_j$

$$v_k = C_k A^k v_0 = C_k \sum_{j=1}^n \alpha_j A^k x_j = C_k \sum_{j=1}^n \alpha_j \lambda_j^k x_j = C_k \lambda_1^k \sum_{j=1}^n \alpha_j \left(\frac{\lambda_j}{\lambda_1}\right)^k x_j.$$

As razões λ_j/λ_1 , com $j \neq 1$, decrescem para zero com o aumento de k , pelo que v_k tende a confundir-se com $C_k \lambda_1^k \alpha_1 x_1$.

Com o crescimento de k , o vector v_k torna-se pois paralelo a x_1 , e a obrigação de ter componente máxima 1 acaba por lhe fixar o sentido e o módulo.

Em conclusão, v_k tende para um vector próprio (normalizado) associado a λ_1 .

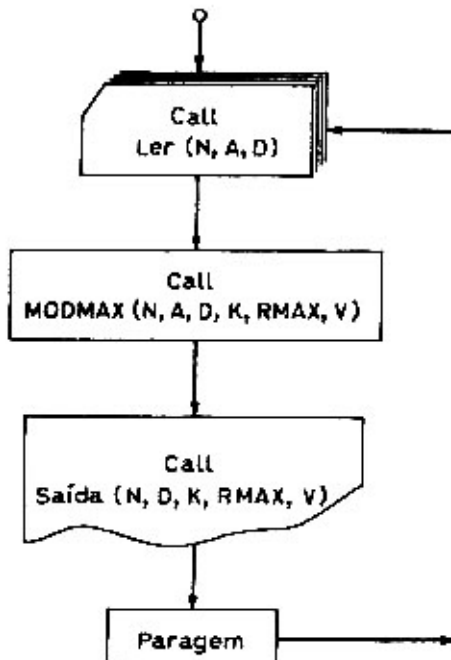
Comparando dois vectores da sucessão vizinhos do limite,

$$v_{k-1} \doteq C_{k-1} \lambda_1^{k-1} \alpha_1 x_1 \doteq v_k \doteq \frac{C_{k-1}}{\mu_k} \lambda_1^k \alpha_1 x_1$$

conclui-se que μ_k tende para λ_1 .

Se v_0 tivesse $\alpha_1 = 0$ e $\alpha_2 \neq 0$, as proposições apresentadas deveriam transferir-se para λ_2 , caso este fosse real e $|\lambda_2| > |\lambda_3|$.

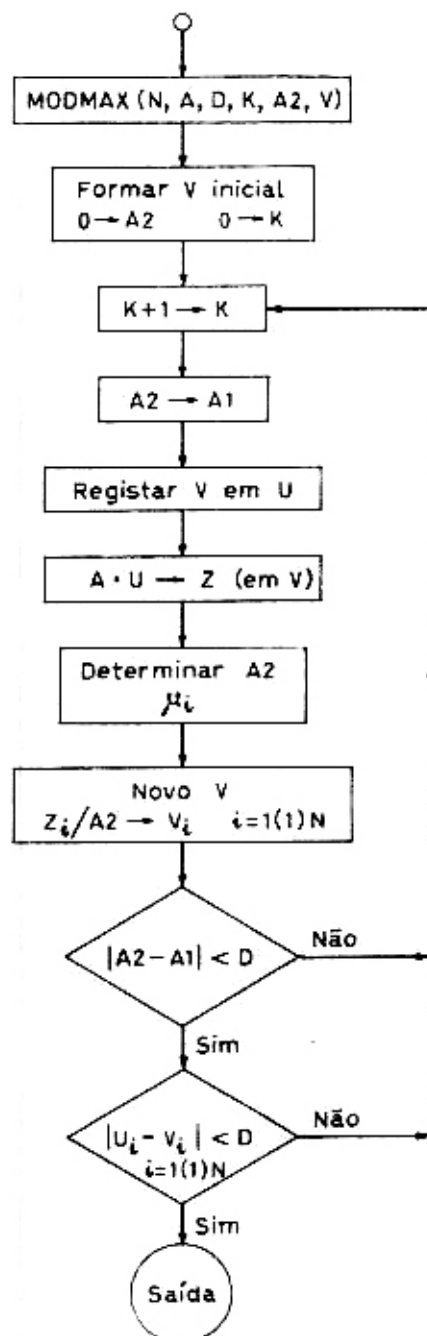
Notemos ainda que a matriz $A + \beta I$ tem valores próprios $\lambda'_i - \lambda_1 + \beta$ e conserva os vectores próprios de A . Um β conveniente pode acentuar a dominância de λ'_1 , o que favorece a convergência, ou tornar dominante outro λ'_i , permitindo calcular outra raiz característica.



11.	167	16	20	26	40	50	60	70	72
C:	PROGRAMA PRINCIPAL								
C:									
:	DIMENSION A(48,48),V(48).								
:	CALL LER(N,A,D)								
:	CALL MODMAX(N,A,D,K,RMAX,V)								
:	CALL SAIDA(N,D,K,RMAX,V)								
:	PAUSE								
:	GOTO 1								
:	END								
:									

11.	167	16	20	26	40	50	60	70	72
:	SUBROUTINE LER(N,A,D)								
C:	LEITURA DA MATRIZ (ONDEM E ELEMENTOS)								
C:	E ERRO ADMISSIVEL (APROX.)								
:	DIMENSION A(48,48)								
:	READ(J,N,1)(A(I,J),J=1,N),I=1,N)=D								
:	1 FORMAT(15/(E14.8))								
:	RETURN								
:	END								
:									

11.	167	16	20	26	40	50	60	70	72
:	SUBROUTINE SAIDA(N,D,K,RMAX,V)								
:	DIMENSION V(48)								
:	PRINT1,K,D,RMAX,(1,V(I),I=1,N)								
:	1 FORMAT(15,1OH ITERAC ϕ ES,6H D=E10.4/1,								
:	1 7H RMAX=,E14.8//2HV(,13,2H)=,E14.8,)								
:	RETURN								
:	END								
:									



```

100  N      25      30      40      50      60      70  M
SUBROUTINE MDMAX(N,A,D,K,A2,V)
DIMENSION A(48,48),V(48)
DIMENSION U(48)
C
C V INICIAL
DO 1, I=1,N
1  V(I)=1.
A2=0.
K=0
C K-CONTADOR DE ITERACOES
2  K=K+1
A1=A2
C COLOCAR V EM U
DO 3, I=1,N
3  U(I)=V(I)
C Z=A*U PARA V
DO 4, I=1,N
4  V(I)=0.
DO 5, J=1,N
5  V(I)=V(I)+A(I,J)*U(J)
C V(I)=YI
6  Y(I)=V(I)
C
A2=Y(I)
DO 6, I=2,N
6  IF(ABSF(A2)-ABSF(Y(I)))>7,6,6
7  A2=Y(I)
C CONTINUE
8  A1 E A2 CONTEM AS COMPONENTES DE MODULO
C MAXIMO DOS VECTORES Z DAS ITERACOES K-1, E K,
C (K MAIOR QUE 1)
C
C NOVO V
DO 8, I=1,N
8  V(I)=V(I)/A2
C CONVERGENCIA DO VALOR PROPRIO
C E VECTOR PROPRIO
9  IF(ABSF(A2-A1)-D)>9,2,2
9  DO 10, I=1,N
10  IF(ABSF(V(I))-U(I))-D)>10,2,2
10  CONTINUE
RETURN
END

```

$$\text{Com } A = \begin{bmatrix} 1 & 1 & 1 & 1 \\ 1 & 2 & 3 & 4 \\ 1 & 3 & 6 & 10 \\ 1 & 4 & 10 & 20 \end{bmatrix} \text{ e } \delta = 10^{-7}$$

o computador forneceu os seguintes resultados (número de iterações, D, λ_1 e vetor próprio associado)

```

9 ITERACOES D= .1000E-06
RMAX= .26304703E+02
V( 1)= .69680547E-01
V( 2)= .23290556E+00
V( 3)= .53034003E+00
V( 4)= .10000000E+01

```

Para $A + 5I$ obteve-se

```

13 ITERACOES D= .1000E-06
RMAX= .31304703E+02
V( 1)= .69680549E-01
V( 2)= .23290556E+00
V( 3)= .53034002E+00
V( 4)= .10000000E+01

```

Bibliografia: [3], [10], [27].

EXEMPLO 9 — VALORES PRÓPRIOS DE MATRIZES TRIDIAGONAIS SIMÉTRICAS.

As matrizes reais simétricas têm valores próprios reais. Destas, as tridiagonais (com elementos todos nulos fora da diagonal principal e das duas que a envolvem) possuem uma propriedade que facilita extremamente a determinação numérica das suas raízes características.

Seja A uma matriz nessas condições, onde designaremos os elementos como mostra a figura junta

$$A = \begin{bmatrix} c_1 & b_1 & & & \\ b_1 & c_2 & b_2 & & \\ & b_2 & c_3 & b_3 & \\ & & \ddots & & \\ & & b_{n-2} & c_{n-1} & b_{n-1} \\ & & & b_{n-1} & c_n \end{bmatrix}$$

A sucessão de determinantes menores principais da matriz $A - \lambda I$, $D_1(\lambda), D_2(\lambda), \dots, D_n(\lambda) = |A - \lambda I|$ a que juntaremos $D_0 = 1$ constitui uma sucessão de Sturm desde que $b_i \neq 0$ ($i = 1, 2, \dots, n-1$). Esta condição garante ainda valores próprios todos distintos.

Mostra-se então que o número $K(\lambda)$ de concordâncias de sinal de termos consecutivos da sucessão $D_i(\lambda)$, para $\lambda = p$, nos dá o número de valores próprios superiores a p .

Se a matriz A em estudo tiver algum $b_i = 0$, cortando a faixa diagonal por esse b_i obtemos duas matrizes tridiagonais que repartem entre si os valores próprios de A .

Não desejando fragmentar a matriz, é possível substituir os b_i nulos por uma quantidade suficientemente pequena de modo a não alterar sensivelmente os valores próprios. Wilkinson [36] utiliza o produto da precisão relativa do computador pela norma infinita da matriz, definida por $\max_{i,j} |a_{ij}|$, alterando os resultados até cerca de duas vezes aquele produto (à parte erros de arredondamento).

O intervalo $[-\text{norma}, +\text{norma}]$ contém todos os valores próprios (teorema de Frobenius, [3] pág. 75). Numeremos estes de modo que

$$\lambda_1 > \lambda_2 > \dots > \lambda_n$$

Para determinar λ_i , tomemos um intervalo $[g, h]$, variável, que de inicio será $[-\text{norma}, +\text{norma}]$. Para $\lambda < -\text{norma}$ teríamos $K(\lambda) = n$, e para $\lambda \geq \text{norma}$, $K(\lambda) = 0$.

$K\left(\frac{g+h}{2}\right)$ indicará se λ_i está ou não à direita do ponto médio do intervalo, conforme for ou não for $K \geq i$; em caso afirmativo muda-se o extremo esquerdo g para o antigo médio; doutra forma, muda-se o extremo h .

Esquematicamente

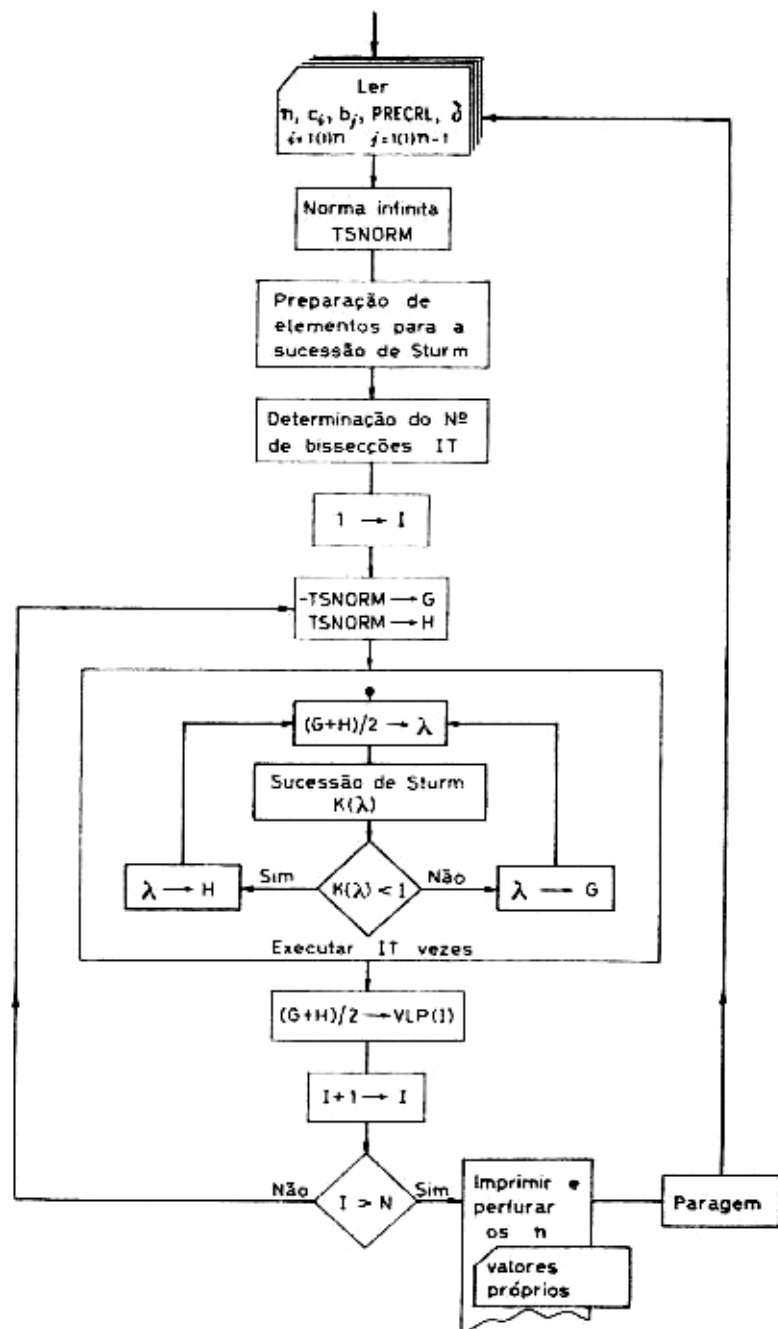
$$\begin{aligned} K(g) \geq i & \quad \left\{ \begin{array}{l} \Rightarrow \lambda_i \in [g, h] \\ K(h) < i \end{array} \right. \\ K\left(\frac{g+h}{2}\right) \geq i & \Rightarrow \lambda_i \in \left[\frac{g+h}{2}, h\right] \quad \text{mudar } g \\ & < i \Rightarrow \lambda_i \in \left[g, \frac{g+h}{2}\right] \quad \text{mudar } h \end{aligned}$$

Ao fim de m aplicações do processo de bissecção, o intervalo $[g, h]$, que contém sempre λ_i , está reduzido a uma amplitude $2 \times \text{norma}/2^m$. Obtém-se λ_i com erro inferior a δ tomando o ponto médio de $[g, h]$ ao fim de um número de iterações superior a $\log_{\varepsilon}\left(\frac{\text{norma}}{\delta}\right)/\log_{\varepsilon}2 + 1$.

Os menores satisfazem a relação de recorrência

$$D_t(\lambda) = (c_i - \lambda)D_{t-1}(\lambda) - b_i^2 D_{t-2}(\lambda)$$

partindo de $D_0 = 1$ e $D_1(\lambda) = c_1 - \lambda$.



```

C VALORES PROPRIOS DE MATRIZES SIMETRICAS TRIDIAGONAIS
C
C DIMENSION C(100),B(100),P(100),VLP(100).
1 READ L,N
1 FORMAT (15)
N1=N1
READ 3,(C(I),I=1,N),(B(I),I=1,N),PRECRL,DELTA
3 FORMAT (E14.9)
C N-ORDEM DA MATRIZ
C C(I)-ELEMENTOS DA DIAGONAL
C B(I)-ELEMENTOS DA SUBDIAGONAL
C B(N)=0.
C PRECRL-PRECISAO RELATIVA DO COMPUTADOR
C VLP(I)-VALORES PROPRIOS
C DELTA-ERRO ABSOLUTO DOS VALORES PROPRIOS
TSNORM=ABSF(C(1))+ABSF(B(1))
DO 11 I=2,N
R=ABSF(B(I-1))+ABSF(C(I))+ABSF(B(I))
SOMA DOS MODULOS DOS ELEMENTOS DE CADA LINHA
11 (TSNORM=R)12!!!!
12 TSNORM=R
11 CONTINUE
C TSNORM-NORMA INFINITA DA MATRIZ
PN2=(PRECRL*TSNORM)**2
P(1)=0.
P(I)=QUADRADO DE B(I-1) EXCETO SE ESTE FOR NULO
DO 13 I=2,N
13 IF(B(I-1))15,14,13
14 P(I)=PN2
GO TO 13
15 P(I)=B(I-1)**2
13 CONTINUE
17 =LOGF(TSNORM/DELTA)/LOGF(2.)+2.
C 17- NUMERO DE BISSECCOES NECESSARIAS PARA O RIGOR PEDIDO
DO 16 I=1,N
C CALCULO DO VALOR PROPRIO NUMERO I
C VLP(I) MAIOR QUE VLP(2).....MAIOR QUE VLP(N)
C G=TSNORM
C H=TSNORM
DO 117 J=1,I-1
ALAM=(G+H)*0.5
C CONCORDANCIAS DA SUCESSAO DE STURM
K=0
P1=0.
P2=1.
DO 118 I=1,N
P3=(C(I)-ALAM)*P2-P(I)*P1
P1=P2
P2=P3
118 IF(P1)112,113,113
113 IF(P2)114,111,111
114 IF(P2)111+114,114
114 X=X+1
111 CONTINUE

```

```

C: TOMAM-SE OS TERMOS NULOS COMO POSITIVOS
C: EXCETO PARA I=N
C: (NAO SE ANULAM CONSECUTIVAMENTE DOIS TERMOS
C: E ANTES E DEPOIS DE TERMO NULO HA SINALS OPUESTOS)
I: IF(PZ)107,115,107
115 IF(D1)107,115,116
116 K=K+1
C: K=NUMERO DE CONCORDANCIAS DE SINAL
107 IF(K-I)118,119+119
C: K MENOR QUE I-MENOS DE I PONTOS VLP A FIDELIDA DE ALARM
118 HALAM
G0 T0 117
119 GALAM
117 CONTINUE
16 VLP(I)=0.5*(G+H)
PRINT 3,(VLP(I),I=1,N)
PUNCH 3,(VLP(I)+I-I+N)
PAUSE
G0 T0 1
END

```

A matriz
$$\begin{bmatrix} 2 & -1 & & \\ -1 & 2 & -1 & \\ & -1 & 2 & -1 \\ & & -1 & 2 & -1 \\ & & & -1 & 2 \end{bmatrix}$$
 de valores próprios

$\lambda_i = 2 + 2 \cos \frac{i\pi}{6}$ com $i = 1(1)5$, foi resolvida por este programa $\delta = 10^{-7}$, tendo-se obtido os seguintes resultados:

• 37320508E+01
• 29999999E+01
• 19999999E+01
• 99999995E+00
• 26794917E+00

Bibliografia: [3], [10], [27], [36].

EXEMPLO 10 -- SOMA DE SÉRIES DE POLINÓMIOS DE CHEBYSHEV PELO MÉTODO DE CLENSHAW.

Os polinómios de Chebyshev de que nos vamos ocupar (existem outros) definem-se por

$$T_k(x) = \cos(k \arccos x) \quad x \in [-1, +1]$$

Pode verificar-se que é válida a relação

$$T_{r+1}(x) - 2xT_r(x) + T_{r-1}(x) = 0$$

Esta relação permite gerar os $T_k(x)$ por recorrência, começando com $T_0(x) = 1$, $T_1(x) = x$, e mostra ao mesmo tempo, que a função $T_k(x)$ é um polinómio de grau k .

Prova-se que uma função $f(x)$, continua e de variação limitada no intervalo $[-1, +1]$, admite um desenvolvimento convergente

$$f(x) = \frac{a_0}{2} + \sum_{r=1}^{\infty} a_r T_r(x) \quad x \in [-1, +1]$$

A acentuada convergência destas séries tem-nas imposto cada vez mais em Análise Numérica.

Conhecem-se [6] os coeficientes a_i do desenvolvimento de algumas funções de uso corrente, para o intervalo referido.

Para somar a série até ao termo $a_n T_n$, Clenshaw [5] propôs o uso das relações

$$b_r = 2xb_{r+1} - b_{r+2} + a_r \quad \text{com } b_{n+1} = b_{n+2} = 0$$

vindo

$$f(x) \doteq \frac{1}{2}(b_0 - b_2)$$

Também é frequente a utilização dos polinómios $T_k^*(x)$, adaptados ao intervalo $[0,1]$, definidos por $T_k^*(x) = \cos [k \arccos(2x-1)] = T_k(2x-1)$. Podem gerar-se pela mesma relação de recorrência dos T_k , partindo de

$$T_0^*(x) = 1, \quad T_1^*(x) = 2x - 1.$$

Um desenvolvimento em série de polinómios T_k^* pode ainda somar-se pelo processo de Clenshaw, substituindo apenas x por $2x-1$.

Como em Fortran não é admissível o índice 0, o programa apresenta os índices avançados de uma unidade. Ao calcular os bb , só três deles precisam de ser registados em cada passo; designam-se os seus localizadores por $B0$, $B1$, $B2$.

```

      157   10      25      35      45      55      65      75  85
      FUNCTION SCHEBY(N,A,X)
      DIMENSION A(65)
      B1=0.
      B0=0.
      DO 11 I=1,N
      B2=B1
      B1=B0
      J=N-I+1
      ! B0=2.*X*B1-B2*A(J)
      SCHEBY=0.5*(B0+B2)
      RETURN
      END.

```

Bibliografia: [5], [6], [27].

**EXEMPLO 11 — AJUSTAMENTO DE CURVAS POR SÉRIES
DE POLINÓMIOS ORTOGONALIS.
CRITÉRIO DOS MÍNIMOS QUADRADOS.**

Na programação deste problema seguimos de perto as orientações de Forsythe [12] e Clenshaw [7] das quais passamos a enunciar alguns tópicos.
Suponhamos que se pretende ajustar um polinómio de grau m

$$(1) \quad y_m(x) = a_0 + a_1x + a_2x^2 + \dots + a_mx^m$$

a um conjunto de pontos $P_l(X_l, Y_l)$, $l=1, 2, \dots, n$ de forma a minimizar

$$(2) \quad \sum_{l=1}^n [y_m(X_l) - Y_l]^2$$

Forsythe prova que existe um e um só polinómio nestas condições se $m < n$. No entanto, o sistema de equações normais

$$(3) \quad \frac{\partial \sum [y_m(X_l) - Y_l]^2}{\partial a_i} = 0 \quad i=0, 1, \dots, m$$

que determina os a_i , é muitas vezes numéricamente instável, sobretudo para $m \geq 7$. Este obstáculo é removido se substituirmos o desenvolvimento em potências de x por um desenvolvimento em polinómios $p_i(x)$ da forma

$$(4) \quad y_m(x) = c_0 p_0(x) + c_1 p_1(x) + \dots + c_m p_m(x)$$

em que cada p_i é de grau i e satisfaz a relação de ortogonalidade

$$(5) \quad \sum_{l=1}^n p_i(X_l) p_j(X_l) = 0, \quad j \neq i.$$

Esta relação é insuficiente para definir uma família de polinómios p_i , mas ficarão determinados se escolhermos p_0 e calcularmos os restantes pelas relações

$$(6) \quad \begin{aligned} p_1 &= 2(x - z_1)p_0 \\ p_i &= 2(x - z_i)p_{i-1} - \beta_i p_{i-2} \quad i = 2, 3, \dots, m \end{aligned}$$

Fazendo, por exemplo, $p_0 = \frac{1}{2}$, obtém-se de (5) e (6),

$$(7) \quad \alpha_i = \frac{\sum_{l=1}^n X_l p_{i-1}^2(X_l)}{\sum_{l=1}^n p_{i-1}^2(X_l)} \quad i = 1, 2, \dots, m$$

e

$$(8) \quad \beta_i = \frac{\sum_{l=1}^n p_{i-1}^2(X_l)}{\sum_{l=1}^n p_{i-2}^2(X_l)} \quad i = 2, 3, \dots, m$$

As equações normais

$$(9) \quad \frac{\partial \sum (y_m(X_l) - Y_l)^2}{\partial c_i} = 0 \quad i = 0, 1, \dots, m$$

com y_m na forma (4), reduzem-se agora à forma diagonal, obtendo-se

$$(10) \quad c_i = \frac{\sum_l Y_l p_i(X_l)}{\sum_l p_i^2(X_l)}$$

A função $y_m(x)$ pode obter-se por sucessivas aproximações da forma

$$(11) \quad \begin{cases} y_0(x) = c_0 p_0(x) = \frac{1}{n} \sum_i Y_i \\ y_i(x) = y_{i-1}(x) + c_i p_i(x) \quad i=1, 2, \dots, m \end{cases}$$

Parte-se de p_0, y_0, x_1 (e $\beta_1 = 0$) e calcula-se p_1, c_1, y_1, x_2 e β_2 .

Passa-se depois a $p_2, c_2, y_2, x_3, \beta_3$ e assim por diante até p_m, c_m, y_m .

Para representar os polinómios p_i e y_i no interior da máquina, Clenshaw sugere a memorização dos coeficientes dos seus desenvolvimentos em séries de polinómios de Chebyshev definidos para o intervalo $[-1, +1]$.

Vamos então supor que todo o problema do ajustamento se processa com $x \in [-1, +1]$, o que não traz perda de generalidade, pois é sempre possível transformar o intervalo (finito) a que pertencem as abcissas X_j no intervalo $[-1, 1]$ por mudança de variável.

Sejam

$$(12) \quad p_i(x) = \frac{1}{2} P_0^{(i)} T_0(x) + P_1^{(i)} T_1(x) + \dots + P_{i-1}^{(i)} T_{i-1}(x) + T_i(x)$$

$$(13) \quad y_i(x) = \frac{1}{2} A_0^{(i)} T_0(x) + A_1^{(i)} T_1(x) + \dots + A_{i-1}^{(i)} T_{i-1}(x) + A_i^{(i)} T_i(x)$$

os desenvolvimentos de p_i e y_i (*).

As relações (6) e (11) tomam agora a forma

$$(14) \quad \begin{cases} P_0^{(i)} = 2P_1^{(i-1)} - 2x_i P_0^{(i-1)} - \beta_i P_0^{(i-2)} \\ P_j^{(i)} = P_{j-1}^{(i-1)} + P_{j-1}^{(i-1)} - 2x_i P_j^{(i-1)} - \beta_i P_j^{(i-2)} \quad i=1, 2, \dots, m \\ P_i^{(0)} = 1 \quad j=1, 2, \dots, i-1 \end{cases}$$

que se deduzem igualando os coeficientes de T_j depois de substituir em (6) cada p_j pelo seu desenvolvimento (atender a que $2x_i T_j = T_{j-1} + T_{j+1}$); e

$$(15) \quad A_j^{(i)} = A_j^{(i-1)} + c_i P_j^{(i)} \quad j=0, 1, \dots, i$$

É este processo de representação de p_i e y_i que usamos no programa.

(*) Em (12) fez-se $P_0^{(0)} = 1$ atendendo a (6).

A resolução do problema é precedida de transformação de coordenadas

$$x \rightarrow \frac{2(x-a)}{b-a} - 1$$

em que $a = \min\{X_i\}$ e $b = \max\{X_i\}$.

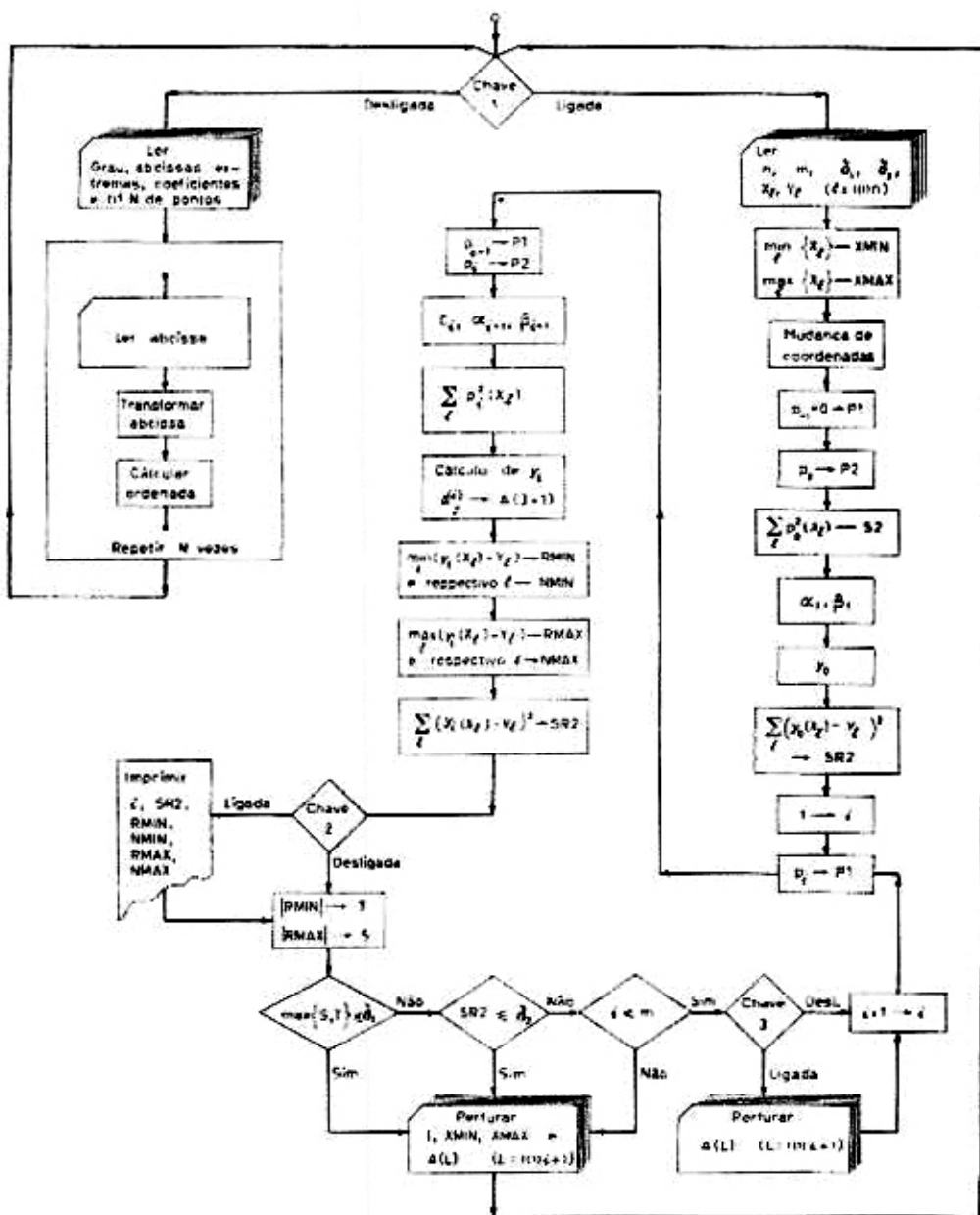
Os valores dos desenvolvimentos (12) e (13) em cada ponto são calculados com o subprograma *FUNCTION SCHEBY* do exemplo 10.

O problema que se põe na prática é o da escolha do grau m . É que, de modo geral, não interessa apenas que a curva passe o mais perto possível dos pontos mas que tenha também uma forma suave, sem oscilações, condição intimamente ligada ao grau da curva. A solução terá então de representar um equilíbrio entre estas duas condições.

No programa considera-se atingida a aproximação final quando

$\max_i |y_m(X_i) - Y_i| \leq \delta_1$ ou $\sum_i [y_m(X_i) - Y_i]^2 \leq \delta_2$, ou ainda quando $m = M$ sendo M , δ_1 e δ_2 constantes definidas no inicio do programa.

Determinada a curva solução, o programa possibilita também o cálculo de pontos (X, Y) desta curva, com $a \leq X \leq b$ (Desligar chave 1).



```

1 507 40 20 30 40 50 60 70 72
C AJUSTAMENTO DE CURVAS POR SERIES DE POLINOMIOS ORTOGONALIS
C CRITERIO DOS MINTIMOS QUADRADOS
C
C ASSOCIE-SE A ESTE PROGRAMA O SUBPROGRAMA FUNCTION SCHEBY
C
C DIMENSION A(25),P1(25),P2(25),X(100),Y(100)
36 PRINT 1
1 FORMAT(1/52HCHAVE 1 LIGADA -DETERMINACAO DA CURVA APROXIMADORA/
1 8X,44HDESLIGADA- " DE PONTOS DESTA CURVA)
PAUSE
1 IF(SENSE SWITCH 1)2,3
C
2 PRINT 4
4 FORMAT(1/50HCHAVE 2 LIGADA-IMPRESSAO DO GRAU, RESIDUOS EXTREMOS
2 11H(RMIN,RMAX)/15X,42H E SOMA DOS QUADRADOS DOS RESIDUOS(SR2), DAS/
3 15X,24HAPROX(MACRES INTERMEDIAS)
PRINT 5
5 FORMAT(1/54HCHAVE 3 LIGADA-PERFURACAO DE COEF. DE APROX-INTERMEDIAS)
PAUSE
C
C N-NUMERO DE PONTOS, M-GRAU MAXIMO
READ 6,N,M
C DELTAT-LIMITE SUPERIOR DO VALOR ABSOLUTO DOS RESIDUOS
C DELTAZ- " " DA SOMA DOS QUADRADOS DOS RESIDUOS
READ 7,DELTAT,DELTAZ
C LEITURA DAS COORDENADAS DOS PONTOS
READ 7,(X(L),Y(L),L=1,N)
C PROCURA DAS ABCISSAS EXTREMAS
C XMIN-ABCissa MINIMA, XMAX-ABCissa MAXIMA
XMAX=X(1)
XMIN=X(1)
DO 8,L=2,N
S=X(L)
1 F(XMAX-S)8,8,10
9 XMAX=S
GO TO 8
10 IF(XMIN-S)8,8,11
11 XMIN=S
8 CONTINUE
C MUDANCA DE COORDENADAS
S=2./(XMAX-XMIN)
DO 12 L=1,N
12 X(L)=S*(X(L)-XMIN)-1.
C CONVENCAO- PI LOCALIZA INICIALMENTE UM POLINOMIO IDENT. NULO
P1(1)=0.
P1(2)=0.
C POLINOMIO ORTOGONAL DE GRAU 0.
P2(1)=1.
P2(2)=0.
P2(3)=0.

```

```

C FN=N
C S2=.25*FN
C DEFINICAO DE ALFA(1) E BETA(1)
C ALFA=0.
C DO 13 L=1,N
13 ALFA=ALFA+X(L)
C ALFA=ALFA/FN
C BETA=0.
C APROXIMACAO DE GRAU 0
C S=0.
C DO 14 L=1,N
14 S=S+Y(L)
C S=S/FN
C A(1)=S+S
C A(2)=0.
C
C I=1
C CALCULO DE NOVO POLINOMIO ORTOGONAL
35 P1(I)=2.*X(P2(2)-ALFA*X(P2(1))-BETA*X(P1(1))
C DO 15 L=2,I
15 P1(L)=P2(L+1)+P2(L-1)-2.*ALFA*X(P2(L))-BETA*X(P1(L))
C I=I+1
C P1(I)=1.
C PERMUTA DOS VECTORES P1 E P2
C DO 16 L=1,II
16 S=P1(L)
C P1(L)=P2(L)
C P2(L)=S
C P2(I+2)=0.
C
C CALCULO DE C(I),ALFA(I+1),BETA(I+1)
C C=0.
C ALFA=0.
C BETA=0.
C T=0.
C DO 17 L=1,N
17 S=SCHEBY(I!,P2,X(L))
C C=C+Y(L)*S
C T=T+S*S
C ALFA=ALFA+X(L)*S*S
C C=C/T
C ALFA=ALFA/T
C BETA=T/S2
C
C S2=T
C APROXIMACAO DE GRAU 1
C DO 18 L=1,II
18 A(L)=A(L)+C*X(P2(L))
C A(I+2)=0.

```

```

C RESIDUOS EXTREMOS E SOMA DOS QUADRADOS DOS RESIDUOS
D RMIN=RESIDUO MINIMO, RMAX=RESIDUO MAXIMO
C SR2=SOMA DOS QUADRADOS DOS RESIDUOS
  RMAX=SCHEBY(11,A,X(1))-Y(1)
  RMIN=RMAX
  NMAX=1
  NMIN=1
  SR2=RMAX=RMAX
  D0 19 L=2,N
  S=SCHEBY(11,A,X(L))-Y(L)
  IF(S-RMIN)20,19,21
20 RMIN=S
  NMIN=L
  G0 T0 19
21 IF(S-RMAX)19,19,22
22 RMAX=S
  NMAX=L
  19 SR2=SR2+S*S
C
  IF(SENSE SWITCH2)23,24
C IMPRESSAO DO GRAU,SOMA DOS QUAD.DOS RESIDUOS,RESID.EXTREMOS
23 PRINT 25,I,SR2,RMIN,NMIN,RMAX,NMAX
25 FORMAT(/5HGRAU I3/27H50MA DOS QUAD.DOS RESIDUOS E14.8/
1 19HRESIDUOS EXTREMOS E14.8,6H(PONT0I3,2H),E14.8,6H(PONT0I3,1H))
C TESTES DE FINALIZACAO
24 S=ABSF(RMAX)
  T=ABSF(RMIN)
  IF(S-T)26,27,27
26 S=T
  27 IF(S-DELTA1)28,28,29
  29 IF(SR2-DELTA2)28,28,30
  30 IF(I-M)31,28,28
C
  31 IF(SENSE SWITCH3)32,33
  32 PUNCH34,(A(L),L=1,I,1)
  33 I=I+1
  G0 T0 35
C PERFORACAO DO GRAU,ABCISAS EXTREMAS E COEFICIENTES
28 PUNCH6,I
  PUNCH7,XMIN,XMAX
  PUNCH34,(A(L),L=1,I,1)
  PAUSE
  G0 T0 36

```

```

C DETERMINACAO DE PONTOS DA CURVA APROXIMADORA
C
C LEITURA DO GRAU
3 READ 6,I
C LEITURA DOS EXTREMOS DO INTERVALO DE AJUSTAMENTO
READ 7,XMIN,XMAX
I1=I+1
C LEITURA DOS COEFICIENTES
READ 34,(A(L),L=1,I1)
C LEITURA DO NUMERO DE ORDENADAS A DETERMINAR
READ 6,N
PRINT 37
37 FORMAT(6X,1HX,1GX,1HX,1HY)
C AS COORDENADAS DOS PONTOS (NO QUE SEQUE) SAO S,T
C =2.1/(XMAX-XMIN)
D0 38 L=1,N
READ 34,S
S2=C*(S-XMIN)-1.
T=SCHEBY(I1,A,S2)
38 PRINT 7,S,T
PAUSE
G0 T0 36
6 FORMAT(2I4)
7 FORMAT(E14.8,1X,E14.8)
34 FORMAT(E14.8)
END

```

Apresentamos a seguir dois exemplos de aplicação (fez-se $f=12$).

- $\{X_i, Y_i\} = \{(-2, -5), (-0.5, 0.625), (0.1), (1.4), (1.5, 8.125), (2.15)\}$
 $\delta_1 = 5 \times 10^{-8}, \quad \delta_2 = 0, \quad M = 5.$

Executando o programa com as chaves 1 e 2 ligadas e 3 desligada obtém-se

GRAU 1
SOMA DOS QUAD.DOS RESIDUOS .27087980E+02
RESIDUOS EXTREMOS -.36634615E+01(PONTO 6), .29096153E+01(PONTO 4)
GRAU 2
SOMA DOS QUAD.DOS RESIDUOS .12949416E+02
RESIDUOS EXTREMOS -.18891382E+01(PONTO 2), .20256732E+01(PONTO 4)
GRAU 3
SOMA DOS QUAD.DOS RESIDUOS .1120000E-18
RESIDUOS EXTREMOS -.25000000E-09(PONTO 1), .50000000E-09(PONTO 6)

Como a aproximação de grau 3 satisfaz as exigências de precisão, são perfurados em cartões o grau, os extremos do intervalo de ajustamento e os coeficientes desta aproximação, obtendo-se, para os últimos, os valores 6, 8, 2 e 2.

A curva solução é, portanto,

$$\frac{1}{2} \cdot 6T_0 + 8T_1\left(\frac{x}{2}\right) + 2T_2\left(\frac{x}{2}\right) + 2T_3\left(\frac{x}{2}\right) \approx 1 + x + x^2 + x^3$$

Note-se que por o intervalo de ajustamento ser $[-2, +2]$ se substitui, no programa, x por $\frac{x}{2}$.

2. O segundo conjunto $\{X_i, Y_i\}$ é formado pelos pontos da curva $y = \sin x$, correspondentes às abcissas -40° (10°) 40° .

Os valores X_i (em radianos) e Y_i foram dados com 7 decimais.

Ao longo do cálculo obtivemos

GRAU 1	SOMA DOS QUAD.DOS RESÍDUOS .10512263E-02
	RESÍDUOS EXTREMOS -.14390888E-01(PONTO 1), .14390888E-01(PONTO 9)
GRAU 2	SOMA DOS QUAD.DOS RESÍDUOS .10512263E-02
	RESÍDUOS EXTREMOS -.14390888E-01(PONTO 1), .14390888E-01(PONTO 9)
GRAU 3	SOMA DOS QUAD.DOS RESÍDUOS .36442049E-07
	RESÍDUOS EXTREMOS -.96973280E-04(PONTO 2), .96973285E-04(PONTO 8)
GRAU 4	SOMA DOS QUAD.DOS RESÍDUOS .36442049E-07
	RESÍDUOS EXTREMOS -.96973275E-04(PONTO 2), .96973290E-04(PONTO 8)
GRAU 5	SOMA DOS QUAD.DOS RESÍDUOS .20756657E-12
	RESÍDUOS EXTREMOS -.21775100E-06(PONTO 6), .21774600E-06(PONTO 7)

e, perfurados em cartões, os valores

.14650020E-10
.65645387E-00
.60582273E-11
-.13750975E-01
-.66106801E-11
.84712709E-01

para coeficientes da curva de grau 5.

Ao reiniciar o programa, desligou-se a chave 4 e fez-se a determinação dos pontos de abcissas $-35^\circ, -14^\circ, -6^\circ, 1^\circ, 3^\circ, 7^\circ, 16^\circ, 28^\circ, 34^\circ$, obtendo-se os seguintes resultados:

X	Y
-. 61086520E-00	-. 57357589E-00
-. 24434610E-00	-. 24192181E-00
-. 10471980E-00	-. 10452834E-00
. 17453300E-01	. 17452380E-01
. 52359900E-01	. 52335883E-01
. 12217300E-00	. 12186912E-00
. 27925270E-00	. 27563736E-00
. 48869220E-00	. 46947159E-00
. 59341190E-00	. 55919241E-00

Bibliografia: [1], [2], [7], [12], [24], [26].

EXEMPLO 12 — A FUNÇÃO GAMMA.

Em [6] estão publicados os coeficientes a_r , com 20 decimais, do desenvolvimento

$$\Gamma(1+x) = \frac{a_0}{2} + \sum_{r=1}^{\infty} a_r T_r^*(x) \quad \text{para } x \in [0, 1]$$

Para $x \notin [0, 1]$, o cálculo é facilitado pela importante igualdade

$$\Gamma(x) = (z-1)\Gamma(z-1)$$

Assim

$$\Gamma(3.2) = 2.2\Gamma(2.2) = 2.2 \times 1.2\Gamma(1+0.2)$$

$$\Gamma(-2.6) = \Gamma(-1.6)/(-2.6) = \Gamma(1+0.4)/[(-2.6)(-1.6)(-0.6)(0.4)].$$

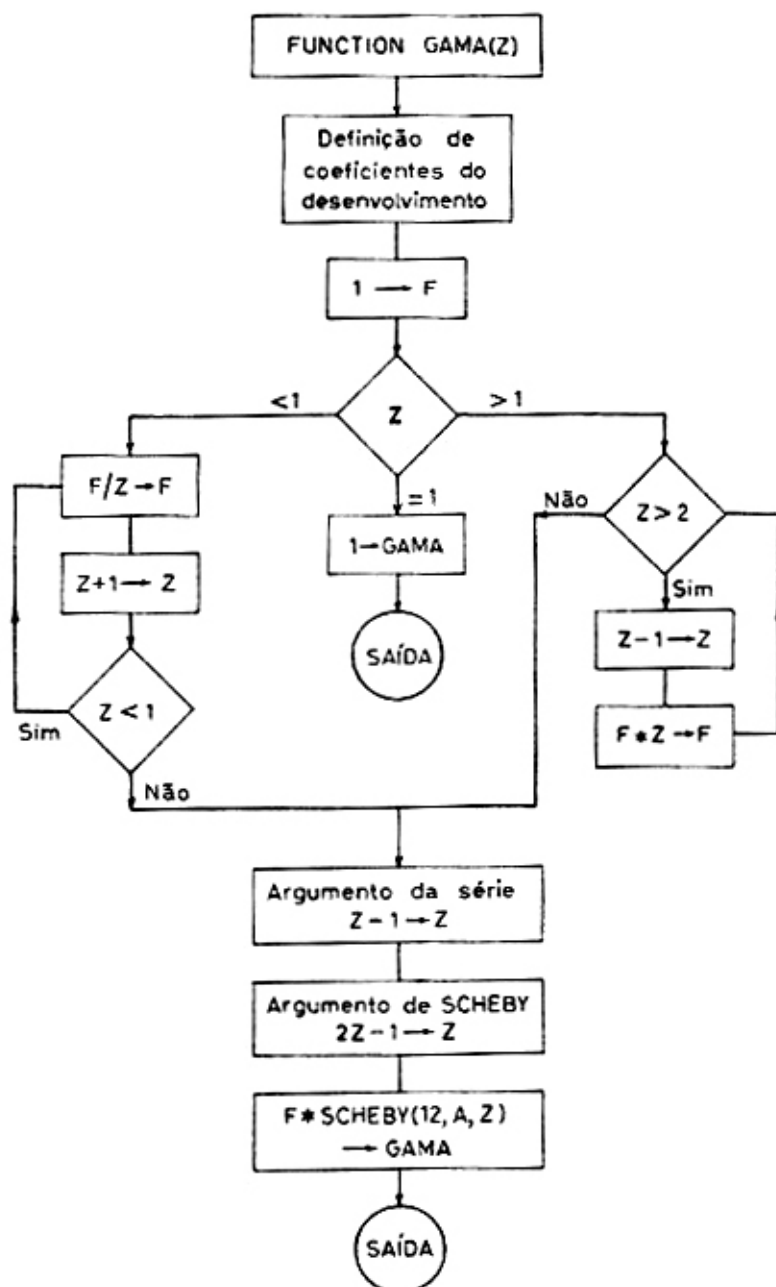
Pondo

$$\Gamma(z) = f \cdot \Gamma(1+\theta) \quad \text{com } \theta \in [0, 1]$$

e calculando f como sugerem os exemplos, resta-nos somar a série relativa a $\Gamma(1+\theta)$, truncando-a em altura conveniente para a precisão do resultado (*). Dispomos já de um subprogramma para somar uma série de polinómios de Chebyshev no intervalo $[-1, +1]$. Como estamos a trabalhar em $[0, 1]$, impõe-se a substituição de x por $2x-1$ antes de utilizar *SCHEBY*.

Convém apontar que os inteiros negativos e zero são polos de $\Gamma(z)$. No programa utilizámos 12 termos da série; $|a_{12}|$ é inferior a 0.5×10^{-8} .

(*) Ao leitor familiarizado com a linguagem ALGOL, recomenda-se a leitura de [8], onde se prefere o desenvolvimento de $1/\Gamma(x)$, que converge mais rapidamente, calculando-se depois o inverso do valor obtido.



```

1 167 4      20      30      40      50      60      70 72
|  FUNCTION GAMA(Z)
|  DIMENSION A(12)
|  A( 1)= .8856712
|  A( 2)= .44153813 E-02
|  A( 3)= .56850437 E-01
|  A( 4)= -.42198354 E-02
|  A( 5)= .13268082 E-02
|  A( 6)= .18930245 E-03
|  A( 7)= .36069253 E-04
|  A( 8)= -.60567619 E-05
|  A( 9)= .10558295 E-05
|  A(10)= -.18119674 E-06
|  A(11)= .31177250 E-07
|  A(12)= -.53562196 E-08
|
|  F=1.
|  IF(Z<1.)2,1,3
| 1  GAMA=1.
|  RETURN
| 2  F=F/Z
|  Z=Z+1.
|  SF(Z-1.)2,6,4
|
| 3  IF(Z>2.)4,4,5
|
| 5  Z=Z-1.
|  F=F*Z
|  GO TO 3
|
| 6  ARGUMENTO DA SERIE
| 4  Z=Z-1.
|
|  PREPARAR O ARGUMENTO DE SCHEBY
|  Z=2.*Z-1.
|  GAMA=F*SCHEBY(12,A,Z)
|  RETURN
|  END
|

```

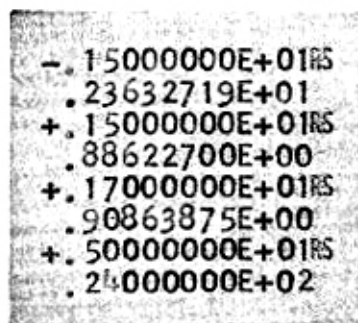
Utilizando o programa principal

```

1 167 4      20      30      40      50      60      70 72
| 111 ACCEPT111,Z
| 11  FORMAT(E14.8)
| 2  GAMA(Z)
|  PRINT111,Z
|  GO TO 111
|  END
|

```

obtivemos



- . 15000000E+01 RS
- . 23632719E+01
+ . 15000000E+01 RS
- . 88622700E+00
+ . 17000000E+01 RS
- . 90863875E+00
+ . 50000000E+01 RS
- . 24000000E+02

onde a cada valor lido por máquina de escrever se segue imediatamente o correspondente valor da função Gama.

Bibliografia: [6], [8].

**EXEMPLO 13 — RAÍZES DE POLINÓMIOS.
MÉTODO DE BAIRSTOW.**

Seja $f(z) = z^n + \sum_{i=1}^n a_i z^{n-i}$ um polinómio de grau n com coeficientes a_i reais.

No método de Bairstow procura-se atingir um factor quadrático $z^2 - s^*z + p^*$, de $f(z)$, partindo de valores aproximados de s^* e p^* . Uma vez conseguido o objectivo, dentro de certo rigor, o factor quadrático fornece um par de raízes (reais ou complexas) e o polinómio cociente da divisão de $f(z)$ por aquele factor conserva os restantes zeros, podendo aplicar-se-lhe técnica idêntica. Obtém-se, assim, sucessivamente todas as raízes de $f(z)$.

São os seguintes os passos do método, que justificaremos mais adiante.

Divide-se $f(z)$ por um factor aproximado $m(z) = z^2 - sz + p$

$$(1) \quad f(z) = z^n + \sum_{i=1}^n a_i z^{n-i} = m(z)g(z) + r(z)$$

obtendo-se um resto $r(z) = r_1 z + r_2$ e um cociente $g(z)$ que voltaremos a dividir por $m(z)$

$$(2) \quad g(z) = z^{n-2} + \sum_{i=1}^{n-2} g_i z^{n-2-i} = m(z)h(z) + t(z)$$

com

$$h(z) = z^{n-4} + \sum_{i=1}^{n-4} h_i z^{n-4-i} \quad t(z) = t_1 z + t_2$$

Temos

$$\begin{array}{ll}
 g_1 = a_1 + s & h_1 = g_1 + s \\
 g_2 = a_2 + sg_1 - p & h_2 = g_2 + sh_1 - p \\
 g_3 = a_3 + sg_2 - pg_1 & h_3 = g_3 + sh_2 - ph_1 \\
 g_4 = a_4 + sg_3 - pg_2 & h_4 = g_4 + sh_3 - ph_2 \\
 \dots & \dots \\
 g_{n-2} = a_{n-2} + sg_{n-3} - pg_{n-4} & h_{n-4} = g_{n-4} + sh_{n-5} - ph_{n-6}
 \end{array}$$

Podemos calcular os g_k (e análogamente os h_k) pelas fórmulas de recorrência

$$g_k = a_k + sg_{k-1} - pg_{k-2} \quad k=1, 2, \dots, n-2$$

impondo

$$g_0 = 1 \quad g_{-1} = 0$$

Avançando mais dois termos nas relações de recorrência, obtemos

$$\begin{array}{ll}
 g_{n-1} = a_{n-1} + sg_{n-2} - pg_{n-3} = r_1 & h_{n-3} = g_{n-3} + sh_{n-4} - ph_{n-5} = t_1 \\
 g_n = a_n + sg_{n-1} - pg_{n-2} = r_2 + sg_{n-1} & h_{n-2} = g_{n-2} + sh_{n-3} - ph_{n-4} = t_2 + sh_{n-3}
 \end{array}$$

onde

$$r(z) = g_{n-1}(z-s) + g_n \quad t(z) = h_{n-3}(z-s) + h_{n-2}$$

Fazendo agora

$$C = sh_{n-2} - ph_{n-3} \quad e \quad D = h_{n-2}^2 - Ch_{n-3}$$

obtém-se correcções Δs e Δp para os valores s e p , pelas fórmulas

$$\begin{aligned}
 \Delta s &= (h_{n-3}g_n - h_{n-2}g_{n-1})/D \\
 \Delta p &= (h_{n-2}g_n - Cg_{n-1})/D
 \end{aligned}$$

Repete-se o processo enquanto o valor relativo ou o valor absoluto das correcções seja superior a um valor δ prefixado.

Justificação do método:

Retomemos as expressões (1) e (2), donde

$$f(z) = (z^2 - sz + p)^2 h(z) + (z^2 - sz + p)t(z) + r(z).$$

Sejam Δs e Δp as correcções que fazem $s + \Delta s = s^*$ e $p + \Delta p = p^*$ e sejam z_1 e z_2 as raízes do $z^2 - s^*z + p^*$, o que permite escrever

$$z_i^2 - sz_i + p = \Delta s z_i - \Delta p \quad (z_i = z_1 \text{ ou } z_2)$$

Como

$$f(z_i) = 0 = (z_i^2 - sz_i + p)^2 h(z_i) + (z_i^2 - sz_i + p) l(z_i) + r(z_i)$$

vem

$$(\Delta s z_i - \Delta p)^2 h(z_i) + (\Delta s z_i - \Delta p) [h_{n-3}(z_i - s) + h_{n-2}] + g_{n-1}(z_i - s) + g_n = 0$$

Desprezando termos de 2.ª ordem em Δs e Δp (caí imediatamente a primeira parcela) somos conduzidos a

$$(z_i - s) [h_{n-2}\Delta s - h_{n-3}\Delta p + g_{n-1}] + [(sh_{n-2} - ph_{n-3})\Delta s - h_{n-2}\Delta p + g_n] = 0$$

Este polinómio do 1.º grau em z_i anula-se em dois pontos (se $z_1 \neq z_2$) o que arrasta

$$\begin{aligned} h_{n-2}\Delta s - h_{n-3}\Delta p + g_{n-1} &= 0 \\ (sh_{n-2} - ph_{n-3})\Delta s - h_{n-2}\Delta p + g_n &= 0 \end{aligned}$$

sistema que resolvido em ordem a Δs e Δp nos dá as expressões anteriormente apresentadas.

No programa que preparamos, começa-se pela leitura dum valor para δ , após o que são lidos o grau e coeficientes do polinómio.

Se os últimos m coeficientes são nulos há m raízes nulas e baixa-se o grau de n para $n-m$.

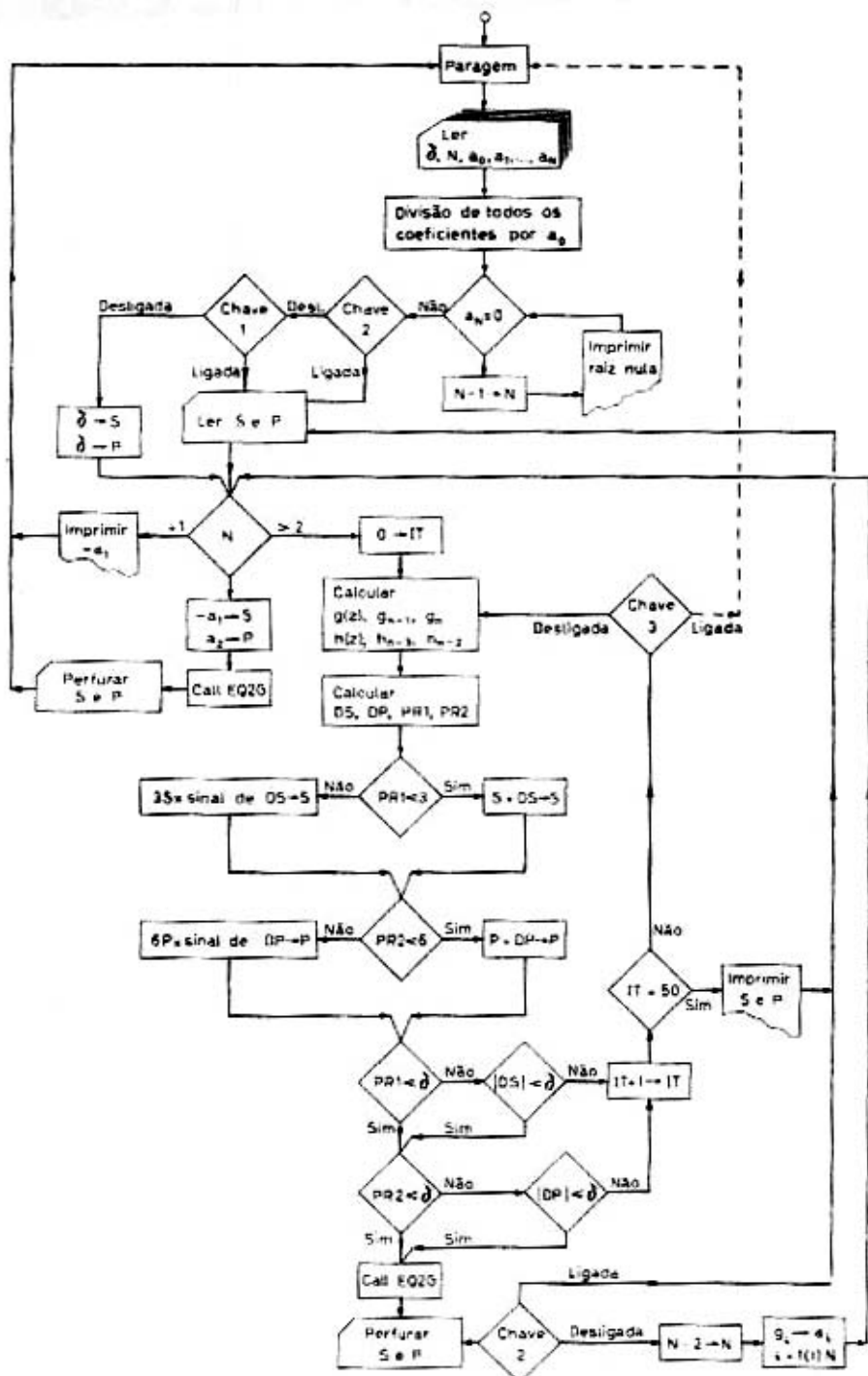
Numa 1.ª fase (com chave 2 desligada) o programa tenta obter todos os factores quadráticos como indicámos no 2.º parágrafo.

Numa 2.ª fase (chave 2 ligada) voltam a ser lidos δ , n e os coeficientes do polinómio original, com o fim de melhorar os factores quadráticos obtidos na 1.ª fase, fazendo a iteração únicamente com $f(z)$, e não com os polinómios cocientes, para evitar perdas de precisão.

Se se efectuarem 50 iterações sem se verificar convergência (para certos valores iniciais de s e p) o programa pede novas sugestões para s e p . O programa pode ser reiniciado em qualquer altura ligando a chave 3.

Para evitar saltos bruscos nas correcções, não se permite que os valores de $|\Delta s|$ e $|\Delta p|$ tenham variações superiores a $|3s|$ e $|6p|$.

Para $n=3$, h_{n-3} teria índice nulo; introduzimos por isso a variável *HNM3* que toma o valor de h_{n-3} com $n>3$ e o valor 1 se $n=3$.



```

100 10 20 30 40 50 60 70 70
C RAIZES DE POLINOMIOS - METODO DE BAIRSTOW
C P(Z)=A(0)+Z+A(1)*Z**2+A(N-1)*Z**N+A(N)*Z-A(N)
C
C CHAVE 2 DESLIGADA-DETERMINAR TODOS OS FACTORES
C QUADRATICOS Z**2-S*Z+P E SUAS RAIZES
C (CHAVE 1 LIGADA-LER SUGESTOES PARA S E P.)
C (DESLIGADA- S=P=DELTA )
C CHAVE 2 LIGADA --APERFEILOCAR FACTORES QUADRATICOS(E. RAIZES)
C
C CHAVE 3 LIGADA- O PROGRAMA VOLTA AO PRINCIPIO
C
C DIMENSION A(50),G(50),H(50)
C
C 1 PAUSE
C READ 100,DELTA
C DELTA-ERRO RELATIVO OU ABSOLUTO ADMISSIVEL EM S OU P
C 100 FORMAT(E14.8)
C N-GRAU DO POLINOMIO
C READ 101,N
C 101 FORMAT(I5)
C LEITURA DOS COEFICIENTES DO POLINOMIO
C READ 100,A0,(A(I),I=1,N)
C DO 2 I=1,N
C 2 A(I)=A(I)/A0
C DETECCAO DE RAIZES NULAS
C 3 IF(A(N))4,5,4
C 5 N=N-1
C PRINT 102
C 102 FORMAT(14H .00000000E+00)
C GO TO 3
C 6 IF(SENSE SWITCH2)6,7
C 7 IF(SENSE SWITCH1)6,8
C 8 S=DELTA
C P=DELTA
C GO TO 9
C 9 READ 100,S,P
C 9 IF(N=2)10,11,120
C F(Z)=Z+A(1)
C 10 Z=Z-A(1)
C PRINT 100,Z
C GO TO 1
C 1 F(Z)=Z**2-S*Z+P=Z**2+A(1)*Z+A(2)
C 17 S=A(1)
C P=A(2)
C CALL EQ2G(S,P)
C PUNCH 100,S,P
C GO TO 1

```

```

120 IT=0
12 CALL DIVQ(N,S,P,A,Q)
C DETERMINACAO DE G(Z),G(N-1) E G(N)
13 CALL DIVQ(N-2,S,P,G,H)
C DETERMINACAO DE H(Z),H(N-3) E H(N-2)
14 IF(N=3)13,16,15
15 STOP
16 HNM3=H(N-3)
17 C=S+H(N-2)-DHNM3
D=D+H(N-2)*Z-(HNM3
S=(HNM3*G(N)-H(N-2)*G(N-1))/D
DP=(H(N-2)*G(N)-C*G(N-1))/D
PR1=ABSF(DS/S)
PR2=ABSF(DP/P)
C PR2-VARIACAO RELATIVA DE P (EM MODULO)
C PR2-ABSF(DP/P)
C PR2-VARIACAO RELATIVA DE P (EM MODULO)
18 IF(PR1>3.)17,17,18
19 S=S+DS
20 GO TO 19
21 S=3.*S+SIGNAL(DS)
22 IF(PR2>6.)20,20,21
23 P=P+DP
24 GO TO 22
25 P=6.*P+SIGNAL(DP)
26 IF(PR1-DELT)23,221,221
221 IF(ABSF(DS)-DELT)23,300,300
231 IF(PR2-DELT)24,231,231
231 IF(ABSF(DP)-DELT)24,300,300
300 IT-IT+1
301 IF(IT=50)301,302,302
302 PRINT 303,S,P
303 FORMAT(16H50 ITERACOES S=E14.8,4H P=E14.8/
1 26HLER SUGESTOES PARA S E P)
304 GO TO 6
26 CALL EQ2G(S,P)
PUNCH 100,S,P
305 IF(SENSE SWITCH 2)6,25
C DETERMINADO UM FACTOR Z**2-S*Z+P
C G(Z) TOMA O PAPEL DE F(Z)
306 N=N-2
307 DO 26 J=1,N
308 A(J)=G(J)
309 GO TO 9
310 END

```

```

1 SUBROUTINE DIVQ(L,S,P,U,V)
2 V(1)=U(1)+S V(2)=U(2)+S*V(1)-P
3 V(K)=U(K)+S*V(K-1) P=V(K-2)
4 DIMENSION U(50),V(50)
5 T1=1.
6 T0=0.
7 DO 1 K=1,L
8 V(K)=U(K)+S=T1-P=T0
9 T0=T1
10 T1=V(K)
11 RETURN
12 END

```

```

1 SUBROUTINE EQ2G(S,P)
2 D=5*S-4.*P
3 X2=0.5*SQRTF(ABSF(D))
4 X1=0.5*S
5 IF(D)1,2,2
6 X=X1+X2
7 PRINT 3,X
8 FFORMAT(E14.8)
9 X=X1-X2
10 PRINT 3,X
11 RETURN
12 PRINT 6,X1,X2
13 FFORMAT(E14.8,3X,4H(-),E14.8,3H 1)
14 RETURN
15 END

```

```

1 FUNCTION SINAL(X)
2 IF(X)1,2,3
3 SINAL=-1.
4 RETURN
5 SINAL=0.
6 RETURN
7 SINAL=1.
8 RETURN
9 END

```

Com $z^4 - 3z^3 + 4z^2 - 12z = z(z-3)(z^2+4)$, $\delta = 10^{-8}$ e chaves 1 e 2 desligadas, obtivemos

$$\begin{array}{l} \cdot 00000000E+00 \\ - \cdot 75246150E-08 + (-) \cdot 20000000E+01 \quad I \\ \cdot 30000000E+01 \end{array}$$

Bibliografia: [4], [9], [27], [35], [37].

BIBLIOGRAFIA

- [1] ALT, Franz (editor) — *Advances in Computers*. New York. Academic Press. 1961. Vol. 2.
- [2] ASHER, M. & FORSYTHE, G. E. — *SWAC experiments on the use of orthogonal polynomials for data-fitting*. J. Assoc. Computing Mach. 5 (1): p. 9-21. 1958.
- [3] BODEWIG, E. — *Matrix Calculus*. 2nd. Ed. Amsterdam. North-Holland Publishing Company. 1959.
- [4] BUCKINGHAM, R. A. — *Numerical Methods*. London. Sir Isaac Pitman & Sons, Ltd. 1962.
- [5] CLENSHAW, C. W. — *A note on the summation of CHEBYSHEV series*. Math. Tables and Aids Computation. 9: p. 118-120. 1955.
- [6] ————— — *CHEBYSHEV series for mathematical functions*. London. Her Majesty's Stationery Office. 1962. National Physical Laboratory Mathematical Tables Series, Vol. 5.
- [7] ————— — *Curve fitting with a digital computer*. Computer J. 2(4): p. 170-173. 1960.
- [8] CLENSHAW, C. W., MILLER, G. F. & WOODGER, M. — *Handbook Series Special Functions Algorithms for Special Functions I*. Numerische Math. 4 (5): p. 403-419. 1963.
- [9] DURAND, E. — *Solutions numériques des équations algébriques. Équations du type $F(x)=0$. Racines d'un polynôme*. Paris. Masson & Cie. Editeurs. 1960. Tome I.
- [10] ————— — *Solutions numériques des équations algébriques. Systèmes de plusieurs équations. Valeurs propres des matrices*. Paris. Masson & Cie. Editeurs. 1961. Tome II.
- [11] FADDEEVA, V. N. — *Computational methods of Linear Algebra*. New York. Dover Publications, Inc. 1959.
- [12] FORSYTHE, G. E. — *Generation and use of orthogonal polynomials for data-fitting with a digital computer*. J. Soc. Industr. Appl. Math. 5 (2): p. 74-88. June 1957.
- [13] FOX, L. — *Numerical solution of ordinary and partial differential equations*. Oxford. Pergamon Press. 1962.
- [14] FREITAS, A. César de — *Análise Numérica e Análise Funcional*. Lisboa. Instituto de Alta Cultura. 1963.
- [15] ————— — *Métodos Numéricos em Álgebra Linear — I*. Lisboa. Instituto de Alta Cultura. 1960.
- [16] ————— — *Cálculos com Números Aproximados*. Lisboa. Instituto de Alta Cultura. 1960.
- [17] GEORGE, Richard — *Algorithm 120*. Commun. Assoc. Computing Mach. 5 (8): p. 437. 1962.
- [18] ————— — *Certifications of algorithm 120 and matrix inversion by GAUSS-JORDAN*. Commun. Assoc. Computing Mach. 6 (1): p. 40. 1963.

- [19] GONÇALVES, J. Vicente — *Curso de Álgebra Superior*. Lisboa.
- [20] HOLLINGDALE, S. H. & TOOTILL, G. C. — *Electronic Computers*. Pelican Book A524. 1965.
- [21] L. B. M. — *IBM 1620 Data Processing System Reference Manual*. San Jose, Calif., IBM, (A26-4500).
- [22] ——— — *IBM 1620 FORTRAN II Programming System Reference Manual*. San Jose, Calif., IBM, 1964. (C26-5876-2).
- [23] ——— — *IBM 1620 FORTRAN II Operator's Guide*. San Jose, Calif., IBM, 1962 (C26-5662-2).
- [24] LANZOS, Cornelius — *Applied Analysis*. London. Sir Isaac Pitman & Sons Ltd. 1957.
- [25] MC CRACKEN, Daniel D. — *A guide to Fortran Programming*. New York. John Wiley & Sons, Inc. 1963.
- [26] MINEUR, H. — *Techniques de Calcul Numérique*. Paris. Librairie Polytechnique Ch. Béranger. 1952.
- [27] NATIONAL PHYSICAL LABORATORY — *Modern Computing Methods*. 2nd. Ed. London. Her Majesty's Stationery Office. 1961. «Notes on Applied Sciences», n.º 16.
- [28] RALSTON, A. & WILF, H. S. (editores) — *Mathematical Methods for Digital Computers*. New York. John Wiley. 1962.
- [29] SCARBOROUGH, J. B. — *Numerical Mathematical Analysis*. 5.ª ed. London. Oxford University Press. 1962.
- [30] SCHWARZ, H. R. — *An introduction to Algol (procedure gjr, proposed by H. RUTISHAUSER)* Commun. Assoc. Computing Mach. 5 (2): p. 94. 1962.
- [31] SHANTZ, P. W. — *Algorithm 220 GAUSS-SEIDEL*. — Commun. Assoc. Computing. Mach. 6(12): p. 739. Dez. 1963.
- [32] USPENSKY, J. V. — *Theory of equations*. London. McGraw-Hill. 1948.
- [33] VARGA, R. S. — *Matrix iterative analysis*. Englewood Cliffs, New Jersey. Prentice-Hall, Inc. 1962.
- [34] WILF, Herbert S. — *Mathematics for the Physical Sciences*. New York. John Wiley and Sons, Inc. 1962.
- [35] WILKINSON, J. H. — *The evaluation of the zeros of ill-conditioned polynomials*. Numerische Math. 1 (3): p. 150-180. 1959.
- [36] ——— — *Handbook Series Linear Algebra. Calculation of the eigenvalues of a symmetric tridiagonal matrix by the method of bisection*. Numerische Math. 4 (4): p. 362-367. 1962.
- [37] ZAGUSKIN, V. I. — *Handbook of Numerical Methods for the Solution of Algebraic and Transcendental Equations*. Oxford. Pergamon Press. 1961.

- [19] GONÇALVES, J. Vicente — *Curso de Álgebra Superior*. Lisboa.
- [20] HOLLINGDALE, S. H. & TOOTILL, G. C. — *Electronic Computers*. Pelican Book A524. 1965.
- [21] I. B. M. — *IBM 1620 Data Processing System Reference Manual*. San Jose, Calif., IBM, (A26-4500).
- [22] ——— — *IBM 1620 FORTRAN II Programming System Reference Manual*. San Jose, Calif., IBM, 1964. (C26-5876-2).
- [23] ——— — *IBM 1620 FORTRAN II Operator's Guide*. San Jose, Calif., IBM, 1962 (C26-5662-2).
- [24] LANCZOS, Cornelius — *Applied Analysis*. London. Sir Isaac Pitman & Sons Ltd. 1957.
- [25] MC CRACKEN, Daniel D. — *A guide to Fortran Programming*. New York. John Wiley & Sons, Inc. 1963.
- [26] MINEUR, H. — *Techniques de Calcul Numérique*. Paris. Librairie Polytechnique Ch. Béranger. 1952.
- [27] NATIONAL PHYSICAL LABORATORY — *Modern Computing Methods*. 2nd. Ed. London. Her Majesty's Stationery Office. 1961. «Notes on Applied Science», n.º 16.
- [28] RALSTON, A. & WILF, H. S. (editores) — *Mathematical Methods for Digital Computers*. New York. John Wiley. 1962.
- [29] SCARBOROUGH, J. B. — *Numerical Mathematical Analysis*. 5.ª ed. London. Oxford University Press. 1962.
- [30] SCHWARTZ, H. R. — *An introduction to Algol (procedure gjr, proposed by H. RUTISHAUSER)* Commun. Assoc. Computing Mach. 5 (2): p. 94. 1962.
- [31] SHANTZ, P. W. — *Algorithm 220 GAUSS-SEIDEL*.—Commun. Assoc. Computing. Mach. 6(12): p. 739. Dez. 1963.
- [32] USPENSKY, J. V. — *Theory of equations*. London. McGraw-Hill. 1948.
- [33] VARGA, R. S. — *Matrix iterative analysis*. Englewood Cliffs, New Jersey. Prentice-Hall, Inc. 1962.
- [34] WILF, Herbert S. — *Mathematics for the Physical Sciences*. New York. John Wiley and Sons, Inc. 1962.
- [35] WILKINSON, J. H. — *The evaluation of the zeros of ill-conditioned polynomials*. Numerische Math. 1 (3): p. 150-180. 1959.
- [36] ——— — *Handbook Series Linear Algebra. Calculation of the eigenvalues of a symmetric tridiagonal matrix by the method of bisection*. Numerische Math. 4 (4): p. 362-367. 1962.
- [37] ZAGUSKIN, V. L. — *Handbook of Numerical Methods for the Solution of Algebraic and Transcendental Equations*. Oxford. Pergamon Press. 1961.